

НОВЫЙ МЕТОД ИЗУЧЕНИЯ МЕХАНИЗМА ЯДЕРНЫХ ВЗАИМОДЕЙСТВИЙ

И.М.Дремин, Г.Б.Жданов, М.И.Третьякова, И.И.Чернявский

Анализ неупругих взаимодействий при высоких энергиях по квадрату передаваемого различным группам частиц четырехмерного импульса в сочетании с дополнительным анализом эффективных масс этих групп является основой предлагаемого одним из авторов (Дреминым) метода интерпретации индивидуальных событий, т.е. для разделения центральных и периферических взаимодействий, для исследования различных типов последних и для сопоставления каждому событию соответствующей диаграммы Фейнмана.

Квадраты передаваемых четырехмерных импульсов k^2 определяются формулой:

$$k_n^2 = (\hat{P}_1 - \sum_{i=1}^n \hat{p}_i)^2 = (\hat{P}_2 - \sum_{j=n+1}^N \hat{p}_j)^2, \quad (I)$$

где $\hat{P}_1, \hat{P}_2, \hat{p}_i, \hat{p}_j$ - четырехмерные импульсы налетающего и покоящегося нуклонов, частиц групп i и j в конечном состоянии. Конечные частицы пронумерованы так, что 1 - рассеянный нуклон, N - нуклон отдачи, а пионы нумеруются от 2 до $N-1$ в порядке возрастания их углов в с.ц.и.

Запишем

$$k^2 = f_- f_+ + |k_\perp|^2, \quad (2)$$

где $f_- = |\vec{k}_\ell| - k_o$, $f_+ = |\vec{k}_\ell| + k_o$, а индексы ℓ и 1 означают продольную и поперечную компоненты импульса. Будем использовать выражение для f_- , полученное из первой части формулы (I), а для f_+ - полученное из второй части, так как при этом ошибки, связанные с пропуском χ^0 -мезонов, в значительной мере компенсируются.

$$f_-^{(n)} \approx 0,5 \left(\frac{\hat{P}_{1\ell}^2 + m^2}{\hat{P}_{1\ell}} + \sum_{l=2}^n \frac{\hat{P}_{l\ell}^2 + \mu^2}{\hat{P}_{l\ell}} - \frac{m^2}{\hat{P}_1} \right), \quad (3)$$

$$f_+^{(n)} = \sum_{j=n+1}^N \hat{p}_{jl} + \sum_{j=n+1}^N \epsilon_j - m, \quad (4)$$

$$k_{\perp(n)}^2 = \sum_{i=1}^n \hat{p}_{i\perp}^2 + 2 \sum_{i < k} \sum_{k=1}^n \hat{p}_{i\perp} \hat{p}_{k\perp} \cos(\varphi_i - \varphi_k). \quad (5)$$

Здесь p и ϵ - трехмерные импульс и энергия, m - масса нуклона, μ - масса пиона ($C = 1$), $\varphi_{i,k}$ - азимутальные углы вылета частиц. По формулам (2) - (5) вычислим все k_n^2 ($1 \leq n \leq N-1$).

Основное предположение заключается в том, что минимальные (и достаточно малые) значения k_n^2 в данном событии мы будем трактовать как свидетельство обмена одним пионом.

На рис. I-3 приведены полученные таким способом распределения по k_n^2 для трех взаимодействий протонов с квазиволнистыми нуклонами ядер фотозмульсии (энергия 23 ГэВ), в которых почти вся энергия выделялась в заряженные частицы, и изображены соответствующие этим событиям фейнмановские диаграммы (замтрихованный квадрат означает центральное взаимодействие).

Нетрудно показать, что в случае неучета $\bar{\chi}^0$ -мезонов все получаемые вышеуказанный методикой значения k_n^2 будут меньше истинных, причем абсолютную величину ошибки можно установить по известным нам непосредственно значениям k_i^2 и k_N^2 (например, $k_i^2 = (\hat{P}_i - \hat{P}_i)^2$).

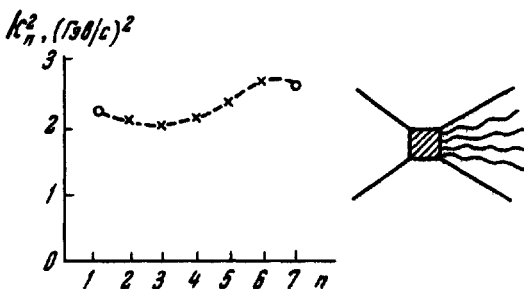


Рис. 1. Звезда типа 0+0+7p, сумма импульсов вторичных заряженных частиц $\sum p_i = 23$ Гэв/с, масса мишени $M_t = \sum (E_i - p_i) = 0,73$ Гэв/с²

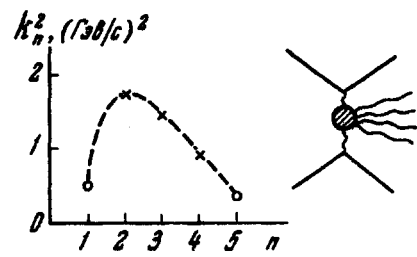


Рис. 2. Звезда типа 0+1+5p,
 $\sum p_i = 26,7$ Гэв/с,
 $M_t = 0,93$ Гэв/с²

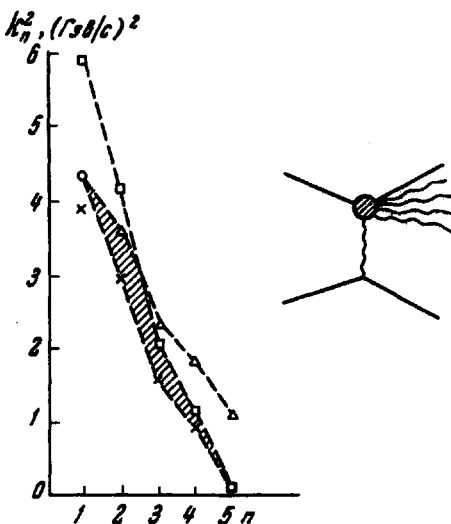


Рис. 3. Звезда типа 0+1+5p,
 $\sum p_i = 21,8$ Гэв/с,
 $M_t = 0,96$ Гэв/с². △ - значения k_n^2 вычислялись только из левой части соотношения (I), □ - только из правой части, x - оптимальный расчет. Заштрихованная зона возможных ошибок последнего расчета

Если использовать для вычисления f_- и f_+ другие части равенства (I), то при наличии $\bar{\chi}^0$ -мезонов можно сильно завысить значения k_n^2 . То место на кривых (см. рис. 3), где они выходят за пределы ошибок используемой методики расчета, будет характеризовать угол вылета π^0 -мезона (если он один).

В принципе возможно, что резко анизотропный распад изобары может имитировать на графике k_n^2 периферический процесс. Для выделения таких событий надо проводить анализ по массам, используя формулы:

$$M_i^2 = \left(E_i + P_i - f_+^{(n)} \right) \left(f_-^{(n)} + \frac{m^2}{2P_i} \right) - k_{\perp(n)}^2, \quad (6)$$

$$M_j^2 = \left(m + f_+^{(n)} \right) \left(m - f_-^{(n)} \right) - k_{\perp(n)}^2, \quad (7)$$

где M_i и M_j — массы групп частиц i, j .

Изложенное выше позволяет утверждать, что для более или менее однозначного установления механизма взаимодействия совершенно необходимо знать характеристики обоих нуклонов (импульс, углы вылета) и очень важно знать также соответствующие характеристики мезонов. Подобного рода информация, как правило, не может быть получена из традиционных опытов с пузырьковой камерой на ускорителях, когда идентификация быстрых частиц крайне затруднительна. Этим недостатком не обладает метод фотоэмulsionий в импульсном магнитном поле [1], с помощью которого и были получены данные, представленные на рис. I-3.

К настоящему времени мы смогли обработать и проанализировать 51 "чистое" (имеющее 2 протона в конечном состоянии) событие, зарегистрированное в эмульсионной стопке, облученной в ЦЕРНе пучком протонов с импульсом 24 Гэв/с в магнитном поле 180 кгс. Стопка состояла из 25 слоев эмульсии Ильфорд G-5 диаметром 6 см. При надлежащем продолжении следов в соседние слои удавалось обеспечивать точность измерения импульсов 10-20% и измерения ионизации 2-3%, как правило, для всех заряженных вторичных частиц.

Анализ графиков k_n^2 для этих событий дал следующие результаты:

1) событий типа рис. 1 с относительно высокими ($> 1 \text{ Гэв}^2/\text{с}^2$) и примерно постоянными значениями k_n^2 было 7;

2) событие типа рис. 2, когда $k_n^2 < 1 \text{ Гэв}^2/\text{с}^2$ по краям графика и заметно больше $1 \text{ Гэв}^2/\text{с}^2$ в максимуме, — одно.

3) событий типа рис. 3, в которых значения k_n^2 существенно растут или падают (не менее чем вдвое) с ростом n при минимальном значении $k_{\min}^2 < 1 \text{ Гэв}^2/\text{с}^2$, было 25;

4) событий с низкими значениями k_n^2 (все $k_n^2 \leq 1 \text{ Гэв}^2/\text{с}^2$) - было 15.

События типа I) мы рассматриваем как центральные взаимодействия и получаем соответственно оценку их доли, равную ($14 \pm 7\%$). События типа 3) соответствуют периферическим взаимодействиям с существенно несимметричным возбуждением обоих нуклонов, причем эффективные массы протона с малым k_n^2 и ближайшего к нему (по углу вылета) $\bar{\chi}$ -мезона в 3 случаях из 9 лежат в пределе $1,15-1,30 \text{ Гэв}/\text{с}^2$. События типа 4) соответствуют, по-видимому, периферическим взаимодействиям со слабым возбуждением одного или двух нуклонов, и, наконец, событие типа 2) можно интерпретировать как редкий (при данной энергии) случай образования фейрбола с эффективной массой $\sim 3 \text{ Гэв}/\text{с}^2$.

Было рассмотрено также распределение величин k_{min}^2 по всем событиям. Оно имеет вид кривой, которая круто спадает при $k_{min}^2 > 0,2 \text{ Гэв}^2/\text{с}^2$ и почти горизонтальна в интервале $1-3 \text{ Гэв}^2/\text{с}^2$. Это и является одним из оснований для проведения несколько условной границы между периферическими и центральными взаимодействиями на $1 \text{ Гэв}^2/\text{с}^2$.

Подробное теоретическое обоснование метода будет изложено в другом месте.

Физический институт

им. П.Н.Лебедева

Академии наук СССР

Поступило в редакцию

13 июня 1966 г.

Литература

[I] E.Braunsgrenther, J.C.Combe, L.Hoffman, M.Morpurgo. CERN report, 62-7.